

МАТРИЧНЫЙ СПОСОБ ОПРЕДЕЛЕНИЯ СВЯЗИ МЕЖДУ КРИВИЗНАМИ ПОВЕРХНОСТЕЙ В ЗУБЧАТОМ ЗАЦЕПЛЕНИИ

Ф. Л. ЛИТВИН, ЧЖАН ЦЫ-СЯНЬ
(Ленинград)

В механизме, составленном из зубчатых колес, поверхности зубцов огибают одна другую в относительном движении.

Рассматривается способ определения кривизны в нормальном сечении огибающей поверхности Σ_2 через кривизну соответствующего нормального сечения огибаемой поверхности Σ_1 . Для этого находятся уравнения для скорости и ускорения контактной точки при перемещении ее по огибающей поверхности, выраженные через скорость и ускорение этой же контактной точки при перемещении ее по огибаемой поверхности. Изложенный способ позволяет найти кривизну огибающей поверхности, не определяя уравнения самой поверхности.

1. Постановка задачи. Предполагается, что в системе декартовых координат $s_1(x_1, y_1, z_1)$ задано уравнение огибающей поверхности Σ_1 , жестко связанной с звеном 1 зубчатого механизма. Система s_1 совершаает заданное движение относительно неподвижной системы декартовых координат $s_h(x_h, y_h, z_h)$, жестко связанной с неподвижным звеном (стойкой) механизма. С системой $s_2(x_2, y_2, z_2)$, движение которой относительно s_h также задано, жестко связана поверхность Σ_2 , огибающая семейство Σ_1 в относительном движении. Система s_2 жестко связана с звеном 2 зубчатого механизма. Обычно уравнения поверхности Σ_2 более сложные, чем уравнения Σ_1 . Поэтому определение кривизны поверхности в ее нормальном сечении обычными методами, применимыми в дифференциальной геометрии, требует громоздких выкладок и вычислений. Можно, однако, эти вычисления сильно упростить, если, не прибегая к составлению уравнений поверхности Σ_2 , кривизну поверхности Σ_2 выразить через кривизну поверхности Σ_1 .

Положим, что поверхность Σ_1 задана в системе s_h уравнением

$$\mathbf{r}_h^{(1)} = \mathbf{r}_h^{(1)}(u, \vartheta, \sigma_1) \quad (1.1)$$

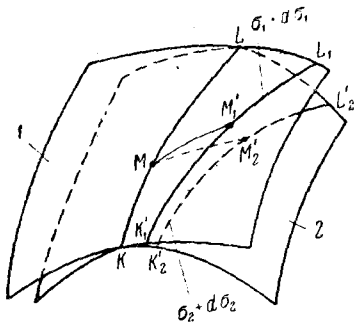
где u и ϑ — параметры поверхности, σ_1 — параметр, определяющий движение системы координат s_1 относительно s_h . Пусть при фиксированном значении параметра σ_1 точка движется на поверхности Σ_1 по линии F_1 , для которой $u = u(t)$, $\vartheta = \vartheta(t)$. Радиус-вектор кривой, по которой движется точка

$$\mathbf{r}_h^{(1)} = \mathbf{r}_h^{(1)}[u(t), \vartheta(t), \sigma_1] \quad (1.2)$$

Обозначим через

$$\mathbf{e}_h^{(1)} = \frac{d}{dt} (\mathbf{r}_h^{(1)} |_{\sigma_1 = \text{const}})$$

$$\mathbf{a}_h^{(1)} = \frac{d^2}{dt^2} (\mathbf{r}_h^{(1)} |_{\sigma_1 = \text{const}})$$



Фиг. 1

скорость и ускорение точки при движении по линии F_1 .

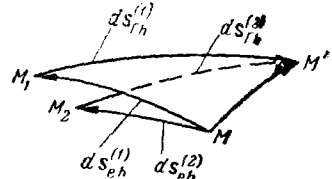
Под нормальным сечением поверхности Σ_1 подразумевается сечение плоскостью, проведенной через орт нормали $e_h^{(1)}$ к поверхности и вектор скорости $\mathbf{c}_h^{(1)}$.

Кривизна κ_1 в таком нормальном сечении [6]

$$\kappa_1 = \frac{\mathbf{a}_h^{(1)} \cdot \mathbf{e}_h^{(1)}}{(\mathbf{c}_h^{(1)})^2} \quad (1.3)$$

Взаимоогибаемые поверхности Σ_1 и Σ_2 касаются одна другой по линии, в текущей точке которой поверхности имеют общий орт нормали. Кривизна κ_2 поверхности Σ_2 :

$$\kappa_2 = \frac{\mathbf{a}_h^{(2)} \cdot \mathbf{e}_h^{(1)}}{(\mathbf{c}_h^{(2)})^2} \quad (1.4)$$



Фиг. 2

Здесь $\mathbf{c}_h^{(2)}$ и $\mathbf{a}_h^{(2)}$ — скорость и ускорение точки, перемещающейся на поверхности Σ_2 по линии F_2 . Для определения кривизны κ_2 необходимо скорость $\mathbf{c}_h^{(2)}$ и ускорение $\mathbf{a}_h^{(2)}$ выразить через скорость $\mathbf{c}_h^{(1)}$ и ускорение $\mathbf{a}_h^{(1)}$.

Покажем, что в общем случае векторы $\mathbf{c}_h^{(1)}$ и $\mathbf{c}_h^{(2)}$ не коллинеарны и поэтому нормальные сечения поверхностей Σ_1 и Σ_2 не совпадают.

На фиг. 1 линия KL представляет собой линию контакта (характеристику) поверхностей Σ_1 и Σ_2 . Этой характеристике соответствуют параметры σ_1 и σ_2 , определяющие соответственно положения систем координат s_1 и s_2 относительно неподвижной системы s_h . При бесконечно малом изменении параметров σ_1 и σ_2 поверхности вступят в касание новыми линиями $K_1'L_1'$ и $K_2'L_2'$.

Перемещение точки касания в неподвижном пространстве представляет геометрическую сумму перемещений: а) в переносном движении вместе с поверхностью, б) в относительном движении по поверхности. При этом (фиг. 2)

$$\begin{aligned} ds_h &= MM' = ds_{eh}^{(1)} + ds_{rh}^{(1)} = ds_{eh}^{(2)} + ds_{rh}^{(2)} \\ (ds_{eh}^{(1)}) &= MM_1, \quad (ds_{rh}^{(1)}) = M_1M', \quad (ds_{eh}^{(2)}) = MM_2, \quad (ds_{rh}^{(2)}) = M_2M' \end{aligned} \quad (1.5)$$

Выражение (1.5) можно представить и в такой форме:

$$\mathbf{v}_h^{(12)} = \mathbf{v}_{eh}^{(1)} - \mathbf{v}_{eh}^{(2)} = \mathbf{e}_h^{(2)} - \mathbf{e}_h^{(1)} \quad (1.6)$$

$$\mathbf{v}_{eh}^{(i)} = ds_{eh}^{(i)} / dt, \quad \mathbf{e}_{eh}^{(i)} = ds_{rh}^{(i)} / dt \quad (i = 1, 2)$$

Здесь $\mathbf{v}_h^{(12)}$ — скорость относительного движения точки M_1 , жестко связанной с поверхностью Σ_1 , относительно точки M_2 , жестко связанной с поверхностью Σ_2 .

Нормальные сечения поверхностей Σ_1 и Σ_2 совпадут лишь в том случае, когда векторы $\mathbf{e}_h^{(1)}$ и $\mathbf{e}_h^{(2)}$ будут коллинеарны. Согласно зависимости (1.6), это станет возможным, если выбрать вектор $\mathbf{e}_h^{(1)}$ коллинеарным $\mathbf{v}_h^{(12)}$.

2. Обобщенные формулы связи координат, скоростей и ускорений в трехзвенном механизме с высшей кинематической парой. Для того чтобы охватить общий случай передачи движений, примем расположение систем координат, изображенное на фиг. 3.

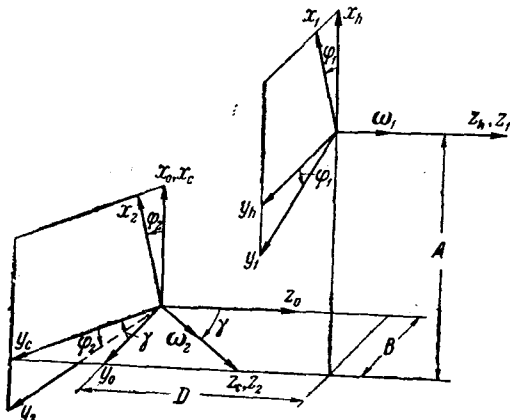
С подвижными звеньями 1 и 2 механизма связаны соответственно поверхности Σ_1 и Σ_2 ; третье звено — стойка — является неподвижным.

Система координат $s_1(x_1, y_1, z_1)$ связана со звеном 1 механизма, совершающим вращательное движение вокруг оси z_1 . Система координат $s_2(x_2, y_2, z_2)$ связана с звеном 2, совершающим вращательное движение вокруг оси z_2 и поступательные движения в направлениях осей x_2, y_2, z_2 . Система координат $s_h(x_h, y_h, z_h)$ связана со стойкой механизма. Системы координат $s_0(x_0, y_0, z_0)$ и $s_c(x_c, y_c, z_c)$ — вспомогательные.

Переход от s_1 к s_h выражается матричным уравнением

$$r_h^{(1)} = L_{h1} r_1$$

$$L_{h1} = \begin{vmatrix} \cos \varphi_1 & -\sin \varphi_1 & 0 \\ \sin \varphi_1 & \cos \varphi_1 & 0 \\ 0 & 0 & 1 \end{vmatrix} \quad (2.1)$$



Фиг. 3

В обозначении матрицы L_{h1} здесь и ниже индекс $h1$ указывает, что переход совершается от системы s_1 к системе s_h . Через r_1 и $r_h^{(1)}$ обозначены столбцевые матрицы радиусов-векторов r_1 и $r_h^{(1)}$ одной и той же точки в системах s_1 и s_h .

Переход от s_2 к s_0 выражается уравнением

$$r_0^{(2)} = L_{0c} L_{c2} r_2 \quad (2.2)$$

где

$$L_{c2} = \begin{vmatrix} \cos \varphi_2 & -\sin \varphi_2 & 0 \\ \sin \varphi_2 & \cos \varphi_2 & 0 \\ 0 & 0 & 1 \end{vmatrix}, \quad L_{0c} = \begin{vmatrix} 1 & 0 & 0 \\ 0 & \cos \gamma & \sin \gamma \\ 0 & -\sin \gamma & \cos \gamma \end{vmatrix} \quad (2.3)$$

Произведение матриц

$$L_{02} = L_{0c} L_{c2} = \begin{vmatrix} \cos \varphi_2 & -\sin \varphi_2 & 0 \\ \cos \gamma \sin \varphi_2 & \cos \gamma \cos \varphi_2 & \sin \gamma \\ -\sin \gamma \sin \varphi_2 & -\sin \gamma \cos \varphi_2 & \cos \gamma \end{vmatrix} \quad (2.4)$$

Переход от s_2 к s_h выражается матричным уравнением

$$r_h^{(2)} = L_{h2} r_2 + R_h^{(2)}, \quad L_{h2} = L_{0c}, \quad R_h^{(2)} = \begin{vmatrix} -A \\ -B \\ -D \end{vmatrix} \quad (2.5)$$

В точке M касания поверхностей звеньев 1 и 2 имеем

$$r_h^{(1)} = r_h^{(2)} \quad L_{h1} r_1 = L_{h2} r_2 + R_h^{(2)} \quad (2.6)$$

В абсолютном движении (по отношению к системе s_h) скорости и ускорения точки M обеих поверхностей одинаковы. Следовательно, $\dot{r}_h^{(1)} = \dot{r}_h^{(2)}$ и $\ddot{r}_h^{(1)} = \ddot{r}_h^{(2)}$.

Дифференцируя (2.6), получим

$$\frac{dL_{h1}}{dt} r_1 + L_{h1} \dot{r}_1 = \frac{dL_{h2}}{dt} r_2 + L_{h2} \dot{r}_2 + \dot{R}_h^{(2)} \quad (2.7)$$

Пусть $c_h^{(1)} = L_{h1} \dot{r}_1$, $c_h^{(2)} = L_{h2} \dot{r}_2$ — столбцевые матрицы вектора скорости перемещения точки M по поверхностям Σ_1 и Σ_2 , записанные в системе s_h .

Заметим также, что

$$\frac{dL_{h1}}{dt} r_1 = \frac{dL_{h1}}{dt} L_{1h} r_h = L_h^{(\omega_1)} r_h \quad (2.8)$$

$$\frac{dL_{h2}}{dt} r_2 = \frac{dL_{h2}}{dt} L_{2h} (r_h - R_h^{(2)}) = L_h^{(\omega_2)} (r_h - R_h^{(2)}) \quad (2.9)$$

Здесь

$$L_h^{(\omega_1)} = \omega_1 \begin{vmatrix} 0 & -1 & 0 \\ 1 & 0 & 0 \\ 0 & 0 & 0 \end{vmatrix}, \quad L_h^{(\omega_2)} = \omega_2 \begin{vmatrix} 0 & -\cos \gamma & \sin \gamma \\ \cos \gamma & 0 & 0 \\ -\sin \gamma & 0 & 0 \end{vmatrix} \quad (2.10)$$

На основании (2.7) — (2.10) получим

$$c_h^{(2)} = c_h^{(1)} + (L_h^{(\omega_1)} - L_h^{(\omega_2)}) r_h + L_h^{(\omega_2)} R_h^{(2)} - \dot{R}_h^{(2)} \quad (2.11)$$

Это уравнение можно представить в другой форме.

Скорость точки M_1 , жестко связанной с огибающей поверхностью

$$v_{eh}^{(1)} = \frac{dL_{h1}}{dt} r_1 = L_h^{(\omega_1)} r_h \quad (2.12)$$

Скорость точки M_2 , жестко связанной с огибающей поверхностью,

$$v_{eh}^{(2)} = \frac{dL_{h2}}{dt} r_2 + \dot{R}_h^{(2)} = L_h^{(\omega_2)} (r_h - R_h^{(2)}) + \dot{R}_h^{(2)} \quad (2.13)$$

Столбцовая матрица $v_h^{(12)}$ вектора скорости движения точки M_1 относительной точки M_2

$$v_h^{(12)} = v_{eh}^{(1)} - v_{eh}^{(2)} = (L_h^{(\omega_1)} - L_h^{(\omega_2)}) r_h + L_h^{(\omega_2)} R_h^{(2)} - \dot{R}_h^{(2)} \quad (2.14)$$

На основании (2.11) и (2.14) имеем также

$$c_h^{(2)} = c_h^{(1)} + v_h^{(12)}$$

Дифференцируя (2.7), получим

$$\frac{d^2L_{h1}}{dt^2} r_1 + 2 \frac{dL_{h1}}{dt} \dot{r}_1 + L_{h1} \ddot{r}_1 = \frac{d^2L_{h2}}{dt^2} r_2 + 2 \frac{dL_{h2}}{dt} \dot{r}_2 + L_{h2} \ddot{r}_2 + \ddot{R}_h^{(2)}$$

или

$$\begin{aligned} \frac{d^2L_{h1}}{dt^2} L_{1h} r_h + 2 \frac{dL_{h1}}{dt} L_{1h} \dot{r}_h^{(1)} + a_h^{(1)} &= \frac{d^2L_{h2}}{dt^2} L_{2h} (r_h - R_h^{(2)}) + \\ &+ 2 \frac{dL_{h2}}{dt} L_{2h} \dot{r}_h^{(2)} + a_h^{(2)} + \ddot{R}_h^{(2)} \end{aligned} \quad (2.15)$$

Здесь $a_h^{(1)} = L_{h1} \ddot{r}_1$, $a_h^{(2)} = L_{h2} \ddot{r}_2$ — столбцовые матрицы векторов ускорений в системе s_h . Решим (2.15) относительно $a_h^{(2)}$ и используем при преобразованиях следующие зависимости:

$$\begin{aligned} \frac{dL_{h1}}{dt} L_{1h} &= L_h^{(\omega_1)}, & \frac{d^2L_{h1}}{dt^2} L_{1h} &= (L_h^{(\omega_1)})^2 + L_h^{(\epsilon_1)} \\ \frac{dL_{h2}}{dt} L_{2h} &= L_h^{(\omega_2)}, & \frac{d^2L_{h2}}{dt^2} L_{2h} &= (L_h^{(\omega_2)})^2 + L_h^{(\epsilon_2)} \end{aligned}$$

где матрица

$$L_h^{(\epsilon_i)} = dL_h^{(\omega_i)} / dt \quad (i = 1, 2)$$

В результате, с учетом выражения (2.11) получим

$$\begin{aligned} a_h^{(2)} &= a_h^{(1)} + 2 (L_h^{(\omega_1)} - L_h^{(\omega_2)}) c_h^{(1)} + [(L_h^{(\omega_1)})^2 - 2L_h^{(\omega_2)} L_h^{(\omega_1)} + \\ &+ (L_h^{(\omega_2)})^2 + L_h^{(\epsilon_1)} - L_h^{(\epsilon_2)}] r_h - [(L_h^{(\omega_2)})^2 - L_h^{(\epsilon_2)}] R_h^{(2)} + 2L_h^{(\omega_2)} \dot{R}_h^{(2)} - \ddot{R}_h^{(2)} \end{aligned} \quad (2.16)$$

На основании (2.14) и (2.16) для проекций векторов $\mathbf{e}_h^{(2)}$ и $\mathbf{a}_h^{(2)}$ получим следующие выражения:

$$\begin{aligned} c_{xh}^{(2)} &= \mathbf{e}_{xh}^{(1)} - y_h (\omega_1 - \omega_2 \cos \gamma) - z_h \omega_2 \sin \gamma + B \omega_2 \cos \gamma - D \omega_2 \sin \gamma + \dot{A} \\ c_{yh}^{(2)} &= \mathbf{e}_{yh}^{(1)} + x_h (\omega_1 - \omega_2 \cos \gamma) - A \omega_2 \cos \gamma + \dot{B} \\ c_{zh}^{(2)} &= \mathbf{e}_{zh}^{(1)} + (x_h + A) \omega_2 \sin \gamma + \dot{D} \end{aligned} \quad (2.17)$$

$$\begin{aligned} a_{xh}^{(2)} &= \mathbf{a}_{xh}^{(1)} - 2c_{yh}^{(1)} (\omega_1 - \omega_2 \cos \gamma) - 2c_{zh}^{(1)} \omega_2 \sin \gamma - x_h (\omega_1^2 - 2\omega_1 \omega_2 \cos \gamma + \omega_2^2) - \\ &- y_h (\epsilon_1 - \epsilon_2 \cos \gamma) - z_h \epsilon_2 \sin \gamma - A \omega_2^2 + B \epsilon_2 \cos \gamma - D \epsilon_2 \sin \gamma + \\ &+ 2\dot{B} \omega_2 \cos \gamma - 2\dot{D} \omega_2 \sin \gamma + \ddot{A} \end{aligned}$$

$$\begin{aligned} a_{yh}^{(2)} &= \mathbf{a}_{yh}^{(1)} + 2c_{xh}^{(1)} (\omega_1 - \omega_2 \cos \gamma) + x_h (\epsilon_1 - \epsilon_2 \cos \gamma) - \\ &- y_h (\omega_1 - \omega_2 \cos \gamma)^2 + z_h \omega_2^2 \cos \gamma \sin \gamma - A \epsilon_2 \cos \gamma - B \omega_2^2 \cos^2 \gamma + \\ &+ D \omega_2^2 \cos \gamma \sin \gamma - 2\dot{A} \omega_2 \cos \gamma + \ddot{B} \end{aligned}$$

$$\begin{aligned} a_{zh}^{(2)} &= \mathbf{a}_{zh}^{(1)} + 2c_{xh}^{(1)} \omega_2 \sin \gamma + x_h \epsilon_2 \sin \gamma - y_h \omega_2 \sin \gamma \\ &- (2\omega_1 - \omega_2 \cos \gamma) - z_h \omega_2^2 \sin^2 \gamma + A \epsilon_2 \sin \gamma + B \omega_2^2 \sin \gamma \cos \gamma - \\ &- D \omega_2^2 \sin^2 \gamma + 2\dot{A} \omega_2 \sin \gamma + \ddot{D} \end{aligned} \quad (2.18)$$

Для упрощения вычислений $\mathbf{e}_h^{(2)}$ и $\mathbf{a}_h^{(2)}$ целесообразно принять $\omega_1 = 1 \text{ рад/сек}$, $\omega_2 = i_{21} \text{ рад/сек}$, где i_{21} — передаточное число.

3. Формулы для вычисления кривизны. Предполагается, что в системе s_h поверхность Σ_1 задана уравнением

$$\mathbf{r}_h^{(1)} = \mathbf{r}_h^{(1)}(u, \vartheta, \varphi_1) \quad (3.1)$$

где u и ϑ — параметры поверхности, φ_1 — фиксированный угол поворота звена 1. Единичный вектор нормали к поверхности Σ_1

$$\mathbf{e}_h^{(1)} = k \left(\frac{\partial \mathbf{r}_h^{(1)}}{\partial u} \times \frac{\partial \mathbf{r}_h^{(1)}}{\partial \vartheta} \right) \quad (3.2)$$

где k — нормирующий множитель.

Для определения характеристики на поверхности Σ_1 к уравнению (3.1) нужно присоединить уравнение [3]

$$\mathbf{n}_h \cdot \mathbf{v}_h^{(12)} = \mathbf{e}_h^{(1)} \cdot \mathbf{v}_h^{(12)} = 0 \quad (\mathbf{n}_h — вектор нормали) \quad (3.3)$$

На основании уравнений (3.1) и (3.3) связь между параметрами u , ϑ и φ_1 для точек характеристики определяется

$$F(u, \vartheta, \varphi_1) = 0 \quad (3.4)$$

Производные $du/d\varphi_1$ и $d\vartheta/d\varphi_1$ связаны зависимостью

$$\frac{\partial F}{\partial u} \frac{du}{d\varphi_1} + \frac{\partial F}{\partial \vartheta} \frac{d\vartheta}{d\varphi_1} + \frac{\partial F}{\partial \varphi_1} = 0 \quad (3.5)$$

В целях упрощения формул для скорости $\mathbf{e}_h^{(1)}$ и ускорения $\mathbf{a}_h^{(1)}$ контактной точки примем, что $\omega_1 = \dot{\varphi}_1 = 1 \text{ рад/сек}$. Тогда

$$du/dt = du/d\varphi_1, \quad d\vartheta/dt = d\vartheta/d\varphi_1$$

В выражении для $\mathbf{a}_h^{(1)}$ можно не учитывать члены

$$(\partial \mathbf{r}_h^{(1)}/\partial u) (d^2 u/dt^2), \quad (\partial \mathbf{r}_h^{(1)}/\partial \vartheta) (d^2 \vartheta/dt^2)$$

что не изменит скалярного произведения $\mathbf{a}_h^{(1)} \cdot \mathbf{e}_h^{(1)}$. Это следует из того, что вектор $\mathbf{e}_h^{(1)}$ перпендикулярен векторам $\partial \mathbf{r}_h^{(1)}/\partial u$ и $\partial \mathbf{r}_h^{(1)}/\partial \vartheta$.

С учетом таких упрощений

$$\mathbf{c}_h^{(1)} = \frac{\partial \mathbf{r}_h^{(1)}}{\partial u} \frac{du}{d\varphi_1} + \frac{\partial \mathbf{r}_h^{(1)}}{\partial \vartheta} \frac{d\vartheta}{d\varphi_1} \quad (3.6)$$

$$\mathbf{a}_h^{(1)} = \frac{\partial^2 \mathbf{r}_h^{(1)}}{\partial u^2} \left(\frac{du}{d\varphi_1} \right)^2 + 2 \frac{\partial^2 \mathbf{r}_h^{(1)}}{\partial u \partial \vartheta} \frac{du}{d\varphi_1} \frac{d\vartheta}{d\varphi_1} + \frac{\partial^2 \mathbf{r}_h^{(1)}}{\partial \vartheta^2} \left(\frac{d\vartheta}{d\varphi_1} \right)^2, \quad (3.7)$$

Кривизна в нормальном сечении огибающей поверхности

$$\kappa_1 = \frac{\mathbf{a}_h^{(1)} \mathbf{e}_h^{(1)}}{(\mathbf{c}_h^{(1)})^2} = \frac{L_h^{(1)} \left(\frac{du}{d\varphi_1} \right)^2 + 2 M_h^{(1)} \frac{du}{d\varphi_1} \frac{d\vartheta}{d\varphi_1} + N_h^{(1)} \left(\frac{d\vartheta}{d\varphi_1} \right)^2}{E_h^{(1)} \left(\frac{du}{d\varphi_1} \right)^2 + 2 F_h^{(1)} \frac{du}{d\varphi_1} \frac{d\vartheta}{d\varphi_1} + G_h^{(1)} \left(\frac{d\vartheta}{d\varphi_1} \right)^2}. \quad (3.8)$$

Здесь $L_h^{(1)}$, $M_h^{(1)}$ и $N_h^{(1)}$; $E_h^{(1)}$, $F_h^{(1)}$ и $G_h^{(1)}$ — соответственно коэффициенты первой и второй квадратичной форм Гаусса. Производные $du/d\varphi_1$ и $d\vartheta/d\varphi_1$ связаны зависимостью (3.5).

Кривизна в нормальном сечении отгибающей поверхности определяется из формулы (1.4).

Проекции векторов $\mathbf{c}_h^{(2)}$ и $\mathbf{a}_h^{(2)}$ вычисляются из уравнений (2.17) и (2.18) после определения $\mathbf{c}_h^{(1)}$ и $\mathbf{a}_h^{(1)}$ из зависимостей (3.6) и (3.7).

Положительный знак κ_i ($i = 1, 2$) указывает, что направление радиуса кривизны совпадает с направлением орта нормали $\mathbf{e}_h^{(1)}$.

Рассмотрим важнейшие частные случаи.

При передаче вращательного движения между перекрещивающимися осями с постоянным отношением скоростей в выражениях (2.17) и (2.18) нужно положить: $\varepsilon_1 = \varepsilon_2 = 0$, $A = \text{const}$, $B = D = 0$.

В случае передачи вращательного движения с постоянным соотношением скоростей между пересекающимися осями в указанных зависимостях нужно положить $\varepsilon_1 = \varepsilon_2 = 0$, $A = B = D = 0$; величина γ является величиной угла между осями вращения колес. Так как вращение звена 2 (при внешнем зацеплении) совершается при этом в направлении, противоположном принятому на фиг. 3, в зависимостях (2.17) и (2.18) должен быть изменен знак перед ω_2 .

Если передача вращения производится при параллельных осях в зависимостях (2.17) и (2.18) нужно положить: $\gamma = 0$, $A = \text{const}$, $B = D = 0$. Знак перед ω_2 сохраняется при внутреннем зацеплении колес и должен быть изменен на противоположный при внешнем зацеплении. Можно показать, что связь между кривизнами κ_1 и κ_2 определяется в рассматриваемом случае уравнением, аналогичным уравнению Эйлера — Савари.

Изложенный в статье метод применим и для изучения связи между кривизнами поверхностей звеньев пространственного кулачкового механизма. Для случая, когда пространственный кулачок совершает вращательное движение, а ведомое звено (толкатель) совершает поступательное движение в направлении, параллельном оси z_h , примем: звено 2 — кулачок, звено 1 — толкатель, x_h — ось конического или цилиндрического ролика, которым снабжается толкатель, угол $\gamma = 0$, $\omega_1 = 0$, $A = \text{const}$, $B = 0$, $D = f(\varphi_2)$ — функция, связывающая поступательные перемещения толкателя и углы поворота кулачка.

Поступило 15 IX 1962

ЛИТЕРАТУРА

1. Колчин Н. И. Аналитические основы дифференциального метода исследования зубчатых зацеплений. Тр. семинара по теории машин и механизмов, 1957, вып. 64.
2. Колчин Н. И. Кривизна сочлененных поверхностей в пространственных зацеплениях. Тр. семинара по теории машин и механизмов, 1953, вып. 49.
3. Литвин Ф. Л. Теория зубчатых зацеплений. Физматгиз, 1960.
4. Лурье А. И. Аналитическая механика. Физматгиз, 1961.
5. Павлов А. М. Определение кривизны взаимоогибаемых поверхностей в пространственных зацеплениях. Тр. ЛПИ, 1960, № 211.
6. Рашевский Г. К. Курс дифференциальной геометрии. ГОНТИ, 1939.
7. Фрезер Р., Дункан В. и Коллар А. Теория матриц и ее приложения. ИЛ, 1950.